

Archive ouverte UNIGE

https://archive-ouverte.unige.ch

Article scientifique

Article

1965

Published version

Open Access

This is the published version of the publication, made available in accordance with the publisher's policy.

Die Synthese von Boraziten mit Hilfe Chemischer Transportreaktionen

Schmid, Hans

How to cite

SCHMID, Hans. Die Synthese von Boraziten mit Hilfe Chemischer Transportreaktionen. In: Journal of physics and chemistry of solids, 1965, vol. 26, n° 6, p. 973–988. doi: 10.1016/0022-3697(65)90185-x

This publication URL: https://archive-ouverte.unige.ch/unige:32488

Publication DOI: <u>10.1016/0022-3697(65)90185-x</u>

© This document is protected by copyright. Please refer to copyright holder(s) for terms of use.

DIE SYNTHESE VON BORAZITEN MIT HILFE CHEMISCHER TRANSPORTREAKTIONEN

HANS SCHMID

Institut Battelle, Centre de Recherche, 7, route de Drize, Genève, Switzerland

(Received 26 June 1964)

Zusammenfassung—Es wird ein in Quarzampullen arbeitendes Transportreaktionsverfahren beschrieben, mit dem eine grosse Anzahl von Boraziten (Me₃B₇O₁₃X, Me = ein zweiwertiges Metall, X = Cl, Br oder J) hergestellt wurde; darunter waren die Cr-Br, Cr-J-, Cu-Cl-, und Cu-Br-Borazite bis jetzt nicht bekannt. Die Verbindungen wurden meist in Einkristallform erhalten. MeO lässt sich am besten mit Hilfe der reversiblen Reaktion

$$MeO(f) + 2 HX(g) = MeX_2(g) + H_2O(g)$$

oder

$$MeO(f) + X_2(g) = MeX_2(g) + 0.5 O_2$$

und CuO über die Kupfer(I)halogenide transportieren. B₂O₃ lässt man vorzugsweise als flüssigen Film zum wachsenden Kristall diffundieren. Bei hohen HX-und H₂O-Drucken bildet sich Borazit unter Beteiligung von B₂O₃-Transport über die Gasphase.

Es werden thermodynamische Abschätzungen der Lage einer Reihe von Reaktionsgleichgewichten für den Transport von MeO und B₂O₃ vorgenommen. Die Ergebnisse werden in bezug auf die beobachteten Kristallisationseigenschaften der Borazite besprochen.

Auf Grund von MeO- und B₂O₃-Transport über die Gasphase wurden mehrere bekannte und einige neue Uebergangsmetallborate als Borazitnebenprodukt erhalten. In einem orientierenden Versuch konnte Mg-Cl-Borazit bei etwa 150 bis 180°C mittels Transportreaktionen in wässriger Lösung dargestellt werden.

Die Gitterkonstanten und α - β -Umwandlungstemperaturen der dargestellten Borazite wurden bestimmt.

Co-J-Borazit zeigt einen Alexandriteffekt. Die Fe-Cl-, Fe-Br-, Ni-Cl-, Ni-Br-, Ni-J- und Cu-Br-Borazite zeigen Thermochroismus.

Abstract—A new method of preparing boracites ($Me_3B_7O_{13}X$, Me = a bivalent metal, X = CI, Br or I) is described. The process takes place in sealed quartz tubes with the aid of chemical transport reactions and permitted the preparation of a large number of boracites, among which the Cr-Br-, Cr-I-, Cu-Cl- and Cu-Br-boracites were not reported before. In most cases, single crystals were obtained. The transport of MeO to the growing boracite crystal can be achieved by the reaction

$$MeO + 2 HX(g) = MeX_2(g) + H_2O(g)$$

or

$$MeO + X_2(g) = MeX_2(g) + 0.5 O_2$$

and that of CuO via the cuprous halides. B₂O₃ is preferably transported via a liquid film to the growing crystal. At high HX- and H₂O pressure, we observed the formation of boracite, based on transport of B₂O₃ via the gas phase.

Thermodynamical estimations of the situation of the transport reaction equilibria of MeO and B_2O_3 are made. The results are discussed with respect to the observed crystallization properties of the different boracites.

By means of transport of MeO and B₂O₃ via the gas phase, several known and some new transition metal borates were obtained.

In an orienting experiment, Mg-Cl-boracite was prepared at about 150 to 180°C by transport reactions in aqueous solution.

The lattice parameters and α-β-transition temperatures of all prepared boracites were determined. On Co-J-boracite, an alexandrite-effect is observed. The Fe-Cl-, Fe-Br-, Ni-Cl-, Ni-Br-, Ni-J, and Cu-Br-boracites show thermochroism.

1. EINLEITUNG

WIR HABEN kürzlich über einige interessante dielektrische Eigenschaften von Boraziten berichtet.⁽¹⁾

Unter Borazit versteht man normalerweise das in Salzlagerstätten vorkommende Mineral der Zusammensetzung Mg₃B₇O₁₃Cl, im weiteren Sinne jedoch alle Verbindungen der allgemeinen Formel Me₃B₇O₁₃X. Darin bedeutet Me ein zweiwertiges Metall, dessen Ionenradius etwa zwischen dem von Cd²⁺ (0.97 Å) und dem von Mg²⁺ (0.66 Å) liegt, und X = Cl, Br, oder Iod, zum Teil auch OH.

In den natürlichen Boraziten findet man nur EISEN⁽²⁾ und MANGAN,⁽²⁻⁴⁾ die das Magnesium isomorph ersetzen. Dabei ist der kürzlich entdeckte CHAMBERSIT⁽⁴⁾ allerdings ein fast reiner Mn-Cl-Borazit. Brom und OH finden sich nur in sehr kleinen MENGEN.⁽⁵⁾

Künstliche Synthesen von feinkristallinen Boraziten sind seit mehr als hundert Jahren bekannt:

1860: Heintz und Richter⁽⁶⁾ gelingt die erste künstliche Synthese von Mg-Cl-Borazit durch Schmelzen von MgCl₂, NaCl, basischem Magnesiumborat und B₂O₃ im Platintiegel.

1881: PRECHT und WITTJEN⁽⁷⁾ misslingt die Synthese von Magnesiumchlorborazit aus wässriger Lösung.

1890: DE GRAMONT⁽⁸⁾ beweist, dass Borazit in Gegenwart von Wasser entstehen kann (Reaktion einer Mischung von Borax und Magnesiumchlorid mit einem bisschen Wasser bei 275–280°C im geschlossenen Glasrohr).

1912: Van't Hoff⁽⁹⁾ erwähnt, dass sich Borazit aus den magnesiumchloridreichsten Lösungen bei der Ascharit-(Mg₂B₂O₅·H₂O)-Synthese bildet.

1893–1898: Durch Rousseau und Allaire⁽¹⁰⁻¹³⁾ erfährt der zunächst nur auf die Mg-Cl-Verbindung beschränkte Begriff Borazit eine beachtliche Erweiterung. Es gelingt ihnen die Darstellung der Cl-, Br- und J-Borazite von Mg, Mn, Fe, Co, Ni, Zn und Cd. Die Cl-Borazite werden durch Ueberleiten des Metallchloriddampfes über Boronatroncalcit, NaCaB₅O₉·8H₂O, die Br- und J-Borazite durch Ueberleiten von Brombzw. Jod-Dampf über Mischungen von Boronatroncalcit mit dem jeweiligen Metall dargestellt.

1949: Leonhardt und Berdesinski⁽¹⁴⁾ gewinnen Mg-Cl-Borazit hydrothermal etwas unterhalb des orthorhombisch-kubischen Umwandlungspunktes von 265°C.

1957: D'Ans und Behrendt⁽⁵⁾ erhalten Mg-Cl-Borazit aus hochkonzentrierten Lösungen (Schmelzen von Borax und Bischofit mit etwas Wasser) und die kubische Modifikation schon bei 150°C in einer metastabilen Form, in der offenbar etwas Chlor durch OH

ersetzt war. Gansau⁽⁵⁾ gewinnt auf ähnliche Weise Mg-Br-Borazit.

1957: Deiss und Blum⁽¹⁵⁾ erhalten in unerwarteter Weise die Cl-Borazite von Mg, Fe und Cr, als sie ein Gemisch aus BCl₃ und H₂ mit den Oxiden MgO, Fe₂O₃ bzw. Cr₂O₃ zwecks Boridherstellung zur Reaktion bringen.

1959: Jona⁽¹⁶⁾ stellt die Chlorborazite von Mg, Zn, Ni und Cd durch direkte Reaktion von Mischungen aus Metalloxid, Boroxid und Metallchlorid in bedeckten Tiegeln dar.

1961: Heide, Walter und Urlau⁽¹⁷⁾ gewinnen die Mg-, Fe-, Mn-, Zn-, Ni- und Co-Chlorborazite sowie binäre Chlorborazitmischkristalle mit den Kombinationen Mg-Mn, Mg-Fe und Fe-Mn aus dem Schmelzfluss.

Alle erwähnten Methoden liefern nur feinkristalline Borazite, die meist mit Borat und Oxid durchsetzt sind. Aus folgenden Gründen drängte sich jedoch das Problem der Einkristallherstellung auf: Für das Auftreten von Ferroelektrizität ist das Vorhandensein von Pyroelektrizität eine notwendige Bedingung. Nach Ito und Mitarb.(18) besitzt der Borazit Mg₃B₇O₁₃Cl oberhalb 265°C eine kubische, piezoelektrische Phase (Raumgruppe T_d^5) und unterhalb 265°C eine orthorhombische, pyroelektrische Phase (Raumgruppe $C_{2V}^{\mathfrak{d}}$). Der Uebergang von einer pyroelektrischen zu einer nicht pyroelektrischen Phase im Borazit liess zuerst CADY⁽¹⁹⁾ Ferroelektrizität vermuten. Seine diesbezüglichen Versuche sowie jene von LE CORRE⁽²⁰⁾ und Sonin und Zheludev⁽²¹⁾ wurden an natürlichen Kristallen vorgenommen, erbrachten jedoch keinen eindeutigen Beweis für die Existenz oder das Fehlen von Ferroelektrizität, ebensowenig die Versuche von Iona(16) an gesinterten, synthetischen Mg-, Zn-, Ni- und Cd-Boraziten. Es verblieb somit die Hoffnung mit reinen synthetischen Einkristallen eindeutigere Antworten zu erhalten. Ausserdem schien es lohnend, das Magnesium im Borazit vollkommen durch paramagnetische Ionen Me2+ zu ersetzen, um eventuell interessante magnetoelektrische Wechselwirkungen bei tiefen Temperaturen zu finden.

An Nickelchlorborazitkristallen, die nach dem im folgenden beschriebenen Verfahren hergestellt wurden, gelang es, Domänenbewegungen mit Hysteresiserscheinungen im elektrischen Feld zu beobachten, (1) anderseits lassen die magnetischen Suszeptibilitätskurven der meisten paramagnetischen Borazite auf ein antiferromagnetisches Verhalten bei tiefen Temperaturen schliessen. (22)

Um Einkristalle zu gewinnen, versuchten wir zunächst, das Flussmittelverfahren von Heintz und Richter⁽⁶⁾ hierzu abzuwandeln. Bei einem derartigen, zwecks Wasserausschluss in einer evakuierten Quarzampulle bei 900°C gefahrenen Versuch entdeckten wir, dass Ni-Cl-Borazit vollkommen über die Gasphase entstehen kann. Die schematische Grundreaktion aller Borazitsynthesen lautet:

$$5 \text{ MeO} + 7 \text{ B}_2\text{O}_3 + \text{Me}X_2 = 2 \text{ Me}_3\text{B}_7\text{O}_{13}X.$$
 (1)

Wir vermuteten, dass Spuren Wassers in der

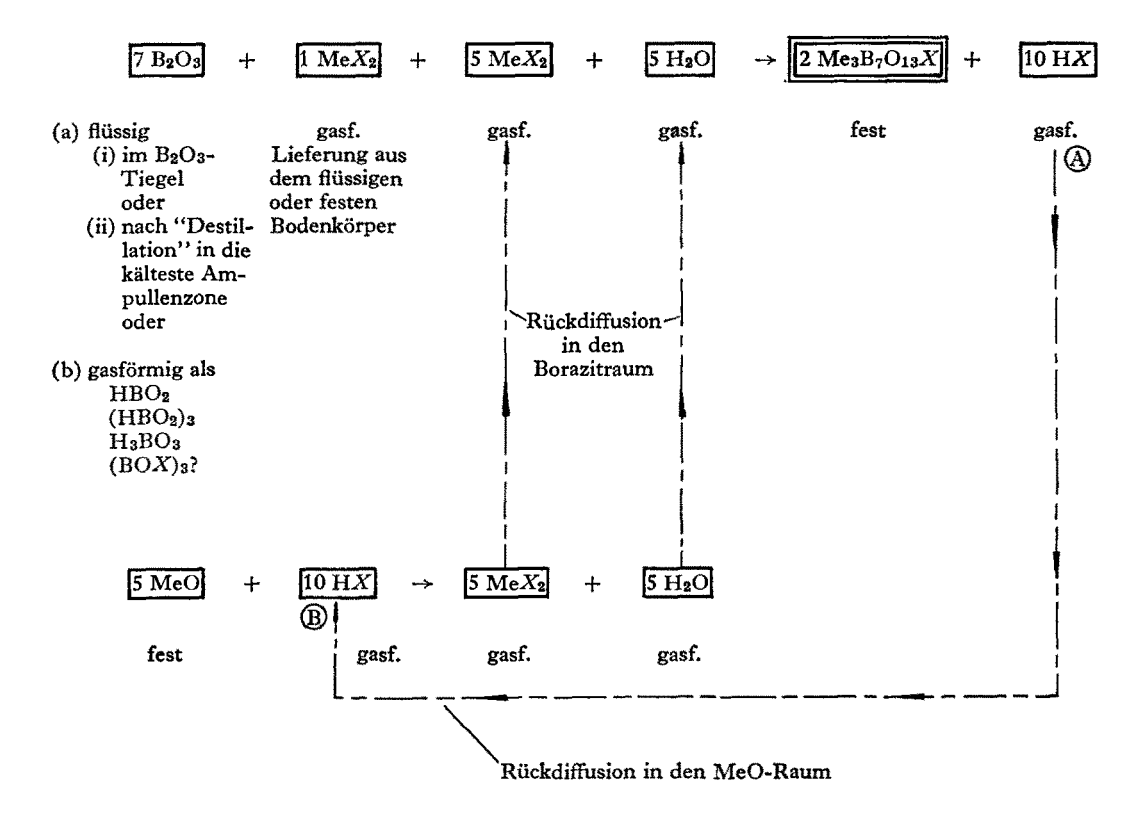
Ampulle eingeschlossen waren und über die reversible Reaktion

$$NiO(g) + 2 HCl(g) = NiCl_2(g) + H_2O(g)$$
 (2)

den Nickeloxidtransport bewerkstelligten. Die weiteren Versuche bestätigten die Richtigkeit dieser Annahme und zeigten ausserdem, dass auch B₂O₃ auf Grund von Transportreaktionen wandern kann. Das Halogenid hat einen genügend hohen Dampfdruck und transportiert sich selbst. Wir konnten schliesslich ein in geschlossenen Quarzampullen arbeitendes Transportreaktionsverfahren (vgl. Tab. 1 und Abb. 1) entwickeln, mit

Tabelle 1. Allgemeines Reaktionsschema für vollkommen oder teilweise aus der Gasphase kristallisierende Borazite

Die bei vollkommener Kristallisation über die Gasphase mitwirkenden B₂O₃-Transportreaktionen wurden der Uebersichtlichkeit wegen nicht eingezeichnet, sondern nur ihre B₂O₃-Transportmittel erwähnt. Das vorliegende Schema zeigt den Reaktionszyklus in einem geschlossenen System (Ampulle). Denkt man sich den Zyklus zwischen (A) und (B) unterbrochen, so gelangt man zu einem Trägergasverfahren mit MeO als MeX₂- und MeO-Quelle. Denkt man sich weiter die MeO-Transportreaktion weg, so bleibt in der oberen Zeile das Reaktionsschema für ein Trägergasverfahren mit MeX₂ als MeO-Quelle stehen.



dem es gelang, eine grosse Anzahl verschieden zusammengesetzter Borazite—meist in Einkristallform (vgl. Abb. 3, 4)—herzustellen. Es stellt das Hauptthema vorliegender Arbeit dar.

Parallel gefahrene Versuche, das Gasphasensyntheseprinzip sinngemäss auf wässrige Lösung zu übertragen, d.h. um Borazit mittels eines Thermokonvektion-Kreisprozesses zu erhalten, verliefen positiv (vgl. Abb. 2). Infolge der erfolgreichen Entwicklung der Gasphasenmethode wurde das Verfahren jedoch nicht zur Einkristallzucht weiterentwickelt.

2. EXPERIMENTELLER TEIL

2.1. Das Drei-Tiegel-Verfahren

2.1.1. Beschickung der Quarzampullen

In einer Quarzampulle (Innendurchmesser etwa 30 mm, Länge etwa 150 mm) werden drei Quarztiegel mit Hilfe von Haltern aus Quarz so übereinander angeordnet, dass z.B. zwischen je zweien ein

Abstand von 1 cm besteht (Abb. 1). In den untersten Tiegel bringt man ein bei etwa 1100°C vorentwässertes B2O3. Man schweisst nun die Deckelkappe der Ampulle auf [Abb 1(b)] und hängt die Ampulle solange unter Vakuum in einen auf 1100°C geheizten Röhrenofen, bis sich im B₂O₃ keine Blasen mehr bilden. Man kühlt unter Vakuum ab, steckt dabei den untersten Teil der Ampulle, der den B2O3-Teigel enthält, in einen auf etwa 200°C geheizten Tiegelofen, um das bei Abkühlung bis auf Zimmertemperatur eintretende Springen des B2O3-hältigen Tiegels zu verhindern. Unter Stickstoff beschickt man nun den mittleren Tiegel mit MeO oder Me2O3 (usw).+Me und den obersten Tiegel mit MeX_2 , $2 \text{ Me}X_3 + \text{Me oder Me} + X_2 \text{ [Abb. 1(b)]}$. Die für den Oxidtransport nötige H2O/HX-Menge kann man mittels eines Hydrats (z.B. MeCl₂·6 H₂O, H₃BO₃ usw.) dosieren und bringt dasselbe in einen der oberen Tiegel. Nach neuerlichem Evakuieren bei ~ 20°C wird zugeschweisst.

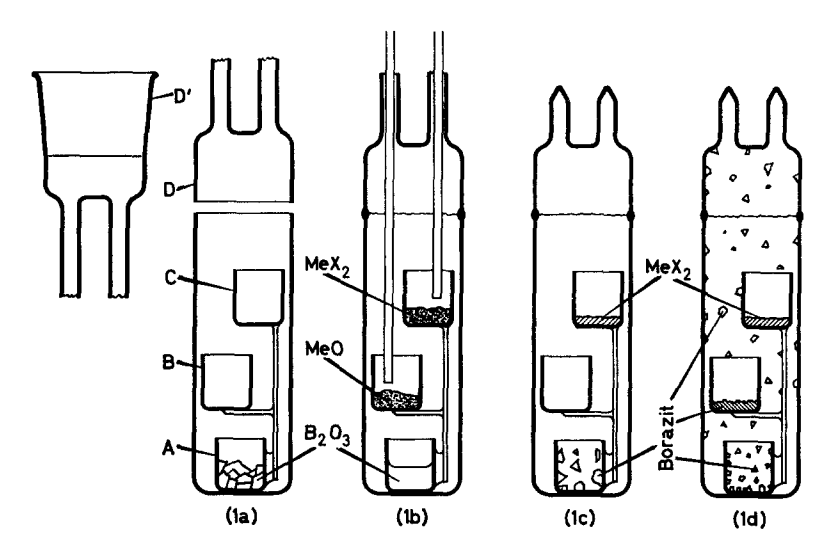


ABB. 1. Einzelne Stadien beim isothermen Drei-Tiegel-Verfahren. In Tiegel A wird vorentwässertes B₂O₃ eingefüllt (1a); nach dem Aufschweissen der Deckelkappe D mit Vakuumstutzen D' wird bei 1 100°C das B₂O₃ entwässert. Nach Abkühlung im Vakuum wird in trockenem N₂ trockenes Oxid in Tiegel B, trockenes Halogenid in Tiegel C und ein H₂O/HX-Dosierungsmittel (z.B. H₃BO₃) in Tiegel B oder C eingefüllt (1b); nach dem Zuschweissen der Einfüllrohre unter Vakuum bei 20°C folgt die Reaktionszeit. Ist der B₂O₃-Transport über die Gasphase völlig zu vernachlässigen, so wird Tiegel B nach Reaktionsende MeO-frei und Borazit wächst nur in Tiegel A (1c); bei bedeutendem B₂O₃-Transport entsteht wenig Borazit in Tiegel A, in Tiegel B ein Borazitkuchen und manchmal überall in der Ampulle verstreut, grössere und kleiner Kristalle (1d).

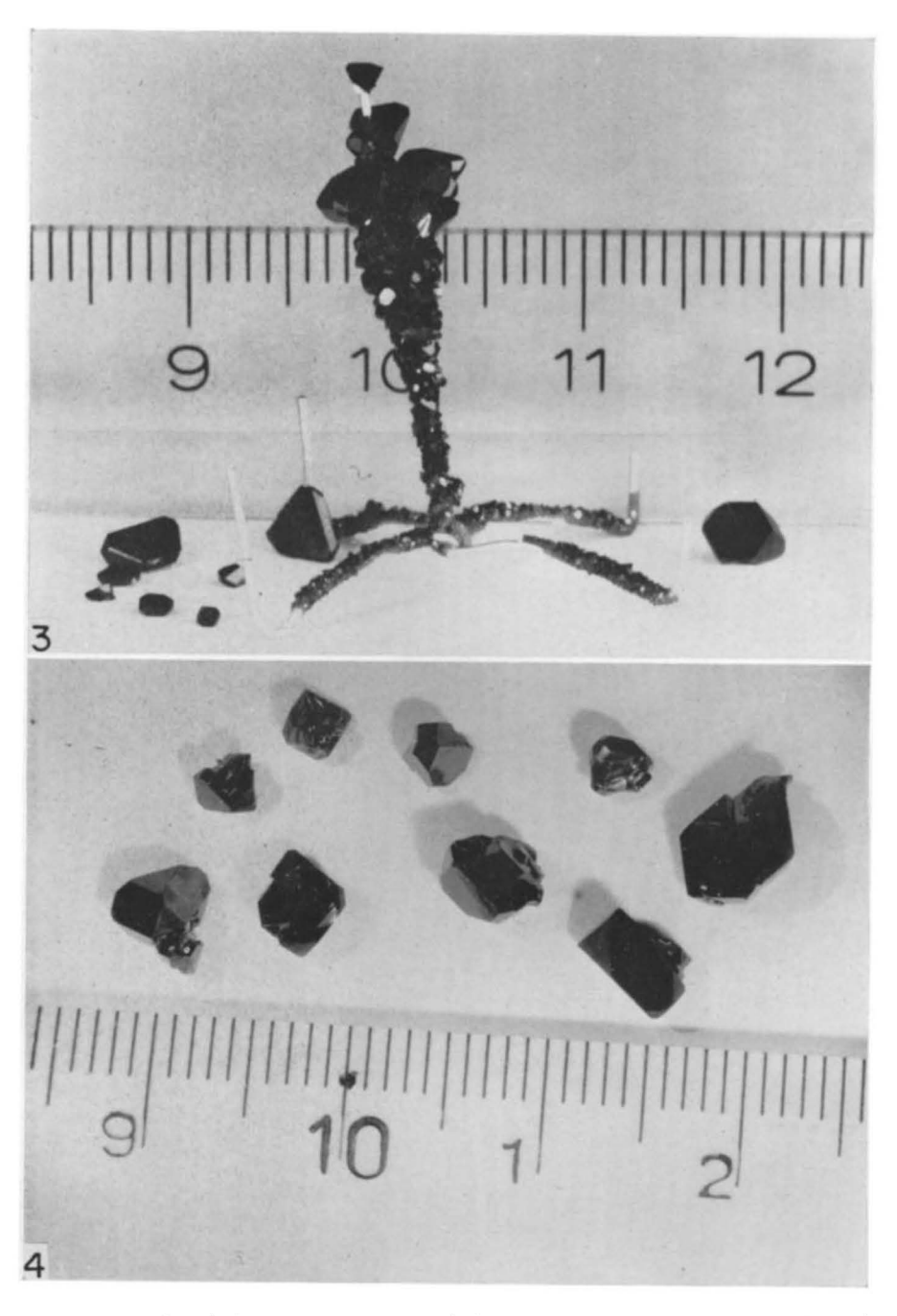


ABB. 3. Auf Platindraht aufgewachsene Nickel-Chlor-Borazitkristalle (Masstab in cm). Der Draht tauchte in die flüssige Borsäure ein.

ABB. 4. Im Quarztiegel gewachsene Nickel-Jod-Borazitkristalle (Masstab in cm).

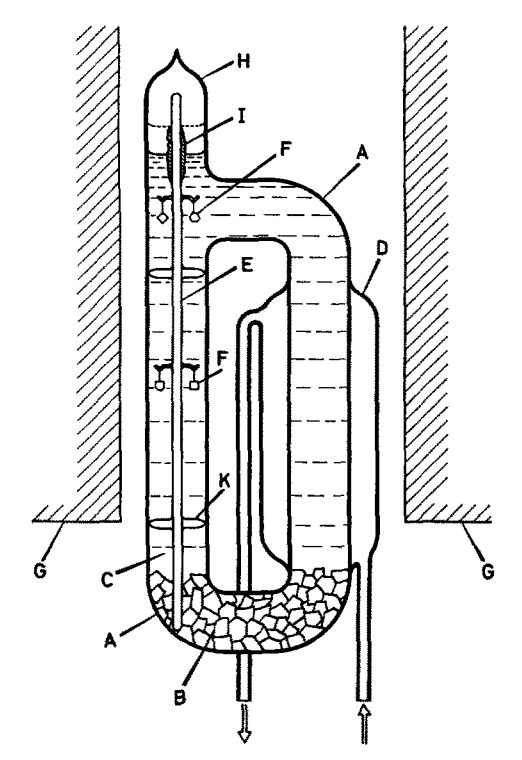


ABB. 2. Synthese von Mg-Cl-Borazit durch Transport-reaktionen in wässriger Lösung (Temperatur bei $B \sim 30^{\circ}$ C, bei I 150-180°C, Laufzeit 25 h).

- A ringförmiges Quarzgefäss
- B vorgeschmolzene Brocken der Nährsubstanzen: MgCl₂·6 H₂O, H₃BO₃, Na₂B₄O₇·10 H₂O und basisches Mg-Borat (1 Mol MgO: 5 Mol B₂O₃)
- C mit den Nährsubstanzen gesättigte Lösung
- D Kühler
- E Quarzstäbchen mit Zentrierspitzen und Keimhaltern
- F Keime (nicht gewachsen)
- G Röhrenofen
- H Dampfdom
- I feinkristalline Borazitkruste
- K Zentrierspitzen

Dosiert man die H_2O/HX -Menge mittels HX, so lässt man das Gas mit einem bestimmten Druck in die evakuierte Ampulle und schweisst zu. Will man MeO mittels O_2/X_2 transportieren (s. 3.2.2.), so lässt man O_2 , oder X_2 mit einem bestimmten Druck ein. Die Ampulle wird nun in einem senkrechtstehenden Röhrenofen erhitzt.

Einzelheiten:

Ampullenvolumen: ~ 0.08 1, Wandstärke: 2 mm. MeO-Einsatz: Zwischen 0.5 und 1.5 g; bei den Feund Cr-Boraziten eine aequivalente Mischung aus Me₂O₃+Me.

B₂O₃-Einsatz: Entsprechend der Borazitformel auf die eingesetzte MeO-Menge bezogen, +5 bis 10 Gew. % Ueberschuss.

MeX₂-Einsatz: Jeweils soviel, dass bei der Arbeitstemperatur MeX₂-Sättigungsdruck herrscht, bei den Kupferboraziten Kupfer(I)halogenidsättigungsdruck (vgl. hierzu Tab. 2). Nur bei den Zinkboraziten wurde zwangsweise bei kleineren Drucken gearbeitet (Zn-Cl-B.: 2·7 g ZnCl₂-, Zn-Br-B.: 3·0 g ZnBr₂-, Zn-J-B.: 3·5 g ZnJ₂-Einsatz bei 20°C). Die nötige MeX₂-Menge setzt sich zusammen aus: MeX₂ für Borazit, MeX₂ zur Gleichgewichtseinstellung (HX- oder X₂-Bildung) und MeX₂-Dampf. Man rechnet sicherheitshalber so, als ob das gesamte H₂O bzw. O₂ zu HX bzw. X₂ umgesetzt würde und fügt noch 5 gew. % MeX₂ zu.

H₂O-*Dosis*: Meist 80 bis 175 mg, jedoch bei Cr-Cl-B. 44, Zn-Cl-B. 44, Zn-Br-B. 22 Cd-Cl-B. 90, Cu-J-B. 85 (keine Borazitbildung) und Zn-J-B. 44 mg.

Aufheizzeit: 3 Stunden.

Arbeitstemperatur: 900°C, jedoch bei Cr-Cl-B. 1000°, Cu-Cl-B. 800°, Zn-Cl-B. 780°, Mg-Br-B. 700°, Mn-Br-B. 800°, Cr-J-B. 950°, Zn-J-B. 700°C. Es wurde fast immer isotherm gearbeitet bzw. der Gradient war nie stärker als $5^{\circ}/20$ cm; bei einem Cr-Cl-B.-Versuch jedoch $T_1 = 940^{\circ}$ C, $T_2 = 1$ 000°C (Bildung von Chromborat in der kälteren Zone.) Reaktionszeit bei Arbeitstemperatur: 12 bis 90 Stunden.

Abkühlzeit auf Raumtemperatur: 4 bis 5 Stunden.

MeX₂-Synthese: CrCl₂, FeBr₂, CrBr₂, FeBr₂ nach⁽²³⁾; TiCl₂ nach⁽²⁴⁾; MnCl₂- nach⁽²⁵⁾; ZnCl₂, CuBr₂, ZnBr₂ gekauft; CoCl₂ durch Zersetzung von CoCl₂·6 H₂O bei 600°C im N₂-Strom, CoO-Spuren stören nicht. Uebrige Synthesen nach.⁽²⁶⁾

Chemikalienreinheitsgrad: p.a.

2.1.2. Die Reaktionsatmosphäre

Zur Vermeidung von Boratbildung soll man mit MeX₂- und B₂O₃-Ueberschuss gegenüber der Borazitformel (vgl. 3.5) arbeiten. Wählt man die Ueberschüsse derart, dass bei der Reaktionstemperatur nach Aufbrauch der letzten Oxidspuren zur Borazitbildung noch MeX₂ und B₂O₃ als Bodenkörper vorhanden sind, so hält man dadurch ausserdem fast während des gesamten Kristallisationsablaufes, den MeX₂-Sättigungsdruck sowie die Partialdrucke der weiteren MeOund B₂O₃-Transportmittel bzw. deren Druckgefälle weitgehend konstant*; dies kommt einer für die gleichmässige Kristallisation erwünschten

^{*} Dies gilt jedoch nur dann streng, wenn sich die Transportmittel verlustlos regenerieren lassen (vgl. daher 4.3).).

=								***************************************			
		Mg	Cr	Mn	Fe	Co	Ni	Cu	$\mathbf{Z}\mathbf{n}$	Cd	$\mathrm{Cu}X$
Chlor	F.P.[°C]	714(48)	820(23)	650(48)	677(23)	740(49)	1030 ⁽⁵⁰⁾ 1001 ⁽⁵¹⁾	498(52)	275(48)	568(48)	430(53)
ວ	P[Torr]	7(54)	3(55)	23(56)	243(56)	133(56)	205(56)	(b)	(8·7 atm)(c)(54)	380(54,55)	73 ^{(53)(e)}
m	F.P.[°C]	711(48)	844(23)	698(48)	684(23)	687(48)	963(51)	498(52)	394(48)	568(48)	504(48)
Brom	P[Torr]	(2)	(a)	(a)	361(62)	(&)	526(63)	(b)	≫1 atm ⁽⁵⁵⁾	200(756°C) ⁽⁵⁴	80(53)(1)
- Ч	F.P.[°C]	654(48)	793(48)	638(48)	594(57)	520(48)	787(48)	······································	446(48)	393(48)	(d)
Jod	P[Torr]	(&)	14(55)	(a)	543(44)	(a)	>760(55)	(b)	≫1 atm ⁽⁵⁵⁾	(2032)(c) ⁽⁵⁵⁾	(d)

Tabelle 2. Sättigungsdampfdrucke bei der Arbeitstemperatur von 900° C und Schmelzpunkte von einigen Halogeniden Me X_2 und CuX

Konstanthaltung der MeX₂-, MeO- und B₂O₃-Uebersättigungen gleich. Das Prinzip, bei Halogenidsättigungsdruck zu arbeiten, wurde fast immer, Zinkborazite ausgenommen, angewandt (vgl. Tab. 2). Bei hohen Halogeniddrucken entstanden meist grosse Einkristalle, bei niedrigen (Mg, Cr, Mn) viele Keime und Dendriten.

2.1.3. Bildungsweisen von Borazit in der Ampulle

- (1) MeO-Transport über die Gasphase überwiegt, B₂O₃ reagiert im flüssigen Zustand (und mit Hilfe eines lokalen Transportzyklus). Im innern des B₂O₃-hältigen Tiegels oder an einem Platindraht, den man in diesen Tiegel eintauchen lässt (Abb. 3 und 4), findet man meist verhältnismässig wenige, aber grosse und störungsarme Kristalle. Die Borsäure dürfte hauptsächlich im flüssigen Zustand reagieren; zusätzlicher lokaler Transport über die Gasphase ist jedoch auch denkbar (Kristallgrösse: bis 15 mm; Abb. 1(c) und Abb. 4).
- (2) B_2O_3 -Transport über die Gasphase überwiegt, MeO reagiert im festen Zustand oder (und) mit Hilfe eines lokalen Transportes. Bei höheren H_2O/HX -Drucken (z.B. $p_{HC1} \sim 0.05$ atm.) tritt bei 900°C starker B_2O_3 -Transport über die Gasphase ein, der zur Bildung eines polykristallinen Borazitkuchens im Oxidtiegel führt [Abb. 1(d)]. Man kann sich sowohl direkte Reaktion der ankommenden Borsäureverbindung mit dem

- (d) nicht existent
- (e) bei 900°C hauptsächlich Cu₃Cl₃(34)
- (t) bei 900°C hauptsächlich CuBr(35)

Metall-Oxidpulver als auch die Beteiligung einer mineralisierenden Reaktion für den Metalloxideinbau vorstellen.

(3) Gleichwertiger MeO- und B₂O₃-Transport über die Gasphase. An der unteren Aussenseite des sich über dem Boroxidtiegel befindenden Tiegels, an den dem Boroxidtiegel benachbarten Ampullenwänden und verstreut in der ganzen Ampulle, findet man zuweilen kleine Kristalle, die völlig über die Gasphase entstanden sind [Abb. 1(d)]. Wendet man einen Temperaturgradienten (bei Ni-Cl-Borazit genügen bei ~ 900°C 5°/20 cm) z.B. in der Weise an, dass das obere Ende der Ampulle in der kälteren Zone liegt, so kann es dort zur Bildung von sehr grossen (bis 10 mm), meist tetraedrischen, jedoch sehr versetzungsreichen Kristallen kommen. Diese Bildung tritt besonders bei hohen H_2O/HX -Drucken $(p_{H_2O} > \sim 0.5)$ atm.) auf.

2.1.4. Optimale Bedingungen für Einkristallzucht

Um möglichst grosse und störungsfreie Kristalle im B_2O_3 -Tiegel zu erhalten, muss auf folgende Punkte geachtet werden :

(1) Vermeidung eines Temperaturgradienten*

Wir beobachteten immer, dass die isotherm gezüchteten Einkristalle versetzungsärmer waren als die im Gradienten entstandenen. Möglicherweise hängt dies mit der Verminderung von

⁽a) nicht bekannt

⁽b) bei 900°C nicht existent

⁽c) extrapoliert

^{*} Vgl. An.m. bei der Korrektur.

mechanischen Spannungen und Wiederverdampfungen (vgl. hierzu⁽²⁷⁾ zusammen.

(2) Wahl des optimalen HX/H2O-Druckes

Der günstigste HX/H₂O-Druck kann nur empirisch gefunden werden; wir können jedoch schematisch unterscheiden:

- (a) unteroptimaler Druck: nur Borazitbildung im B2O3-Tiegel, kleine Kristalle, zu kleine MeO-Transportleistung, kein B₂O₃-Trans-
- (b) optimaler Druck: hauptsächlich Bildung grosser, störungsarmer Kristalle im B₂O₃-Tiegel, noch kein B₂O₃-Transport in den MeO-Tiegel [Abb. 1(c)];
- (c) überoptimaler Druck: starker B₂O₃-Transport in den MeO-Tiegel, ebendort Borazitkuchenbildung [Abb. 1(d)], fast kein MeO-Transport in den B₂O₃-Tiegel, daher dort nur sehr kleine Einkristalle.

Beispiel: bei Ni-Cl- und Ni-J-Borazit wurden zur Abschätzung optimaler Bedingungen Versuche mit verschiedenem H2O-Einsatz (bei 20°C) bei 900°C und Halogenid-Sättigungsdruck gefahren: 175, 90, 45 und 20 mg H2O. Bei 175 und 90 mg trat starker B2O3-Transport in den NiO-Tiegel auf (Kuchenbildung), bei 45 mg weniger und bei 20 mg überhaupt nicht mehr. 50 mg H2O waren etwa optimal.

2.1.5 Quarz als Ampullen- und Tiegelmaterial

Bei Verwendung von Platintiegeln für das flüssige B₂O₃ beobachteten wir Platineinbau im Borazit. Daher gingen wir zu Quarztiegeln über. B₂O₃ löst nach Foëx⁽²⁸⁾ bei 1 200°C pro 100 Mole B₂O₃ 39 Mole SiO₂. Bei 900°C, unserer meist angewandten Arbeitstemperatur, ist diese starke Löslichkeit natürlich schon kleiner, jedoch noch bedeutend. Ein Quarztiegel, der flüssiges B₂O₃ enthält, gibt daher merkliche Mengen SiO2 an dasselbe ab. Die Ionenradien von Si4+, B3+ und Me²⁺ (z.B. Ni²⁺) betragen 0.42, 0.23 bezw. 0.69 Å Die Unterschiede sind so gross, dass ein Einbau von Si⁴⁺ auf B³⁺- und Me²⁺-Plätzen unwahrscheinlich ist. Das meist beobachtete sehr versetzungsarme Wachstum unterstützt diese Ueberlegung.

Die in einem Film von B₂O₃-SiO₂-Glas haftenden Borazitkristalle isoliert man durch Kochen in Wasser; B₂O₃ löst sich, SiO₂ bildet nicht weiter störende Kieselsäureflocken.

Die Quarzampulle wird bei isothermem Arbeiten nicht von B₂O₃ angegriffen. Beim Arbeiten im Temperaturgradienten ist darauf zu achten, dass der B₂O₃-hältige Tiegel in der kältesten Zone liegt, da sonst B₂O₃-Transport stattfinden kann und durch Bildung eines beim Abkühlen spannungserzeugenden SiO₂/B₂O₃-Filmes die Ampulle springen kann. Einen Angriff der Ampulle durch B2O3 kann man also vermeiden, hingegen trat bei den Fe- und Mn-Boraziten starke Korrosion auf, die offenbar auf Reaktion mit den Metalloxiden beruht. Hoher HX/H₂O-Druck (Einsatz von 175 mg H₂O) verhinderte die Korrosion† bei den Eisenboraziten. Der Effekt ist noch nicht geklärt.

2.1.6. Hergestellte Borazite

- (1) Einfache Borazite. Alle in Tab. 5 angeführten Borazite (ausgenommen die Mg-Cl, Mg-Br, Mg-J und Cd-Cl-Borazite), wurden mit dem Drei-Tiegel-Verfahren dargestellt. Infolge der Vielzahl der synthetisierten Borazite wurde zunächst nur wenig auf optimale Einkristallzuchtbedingungen hingearbeitet. Die Synthese der Vanadin-, Titan-, Cu-J- und Mg-J-Borazite misslang bis jetzt.
- (2) Mischkristalle. Wollen wir homogene Borazitmischkristalle, d.h. Metall-, Halogen- oder Metall- und Halogenionen ideal gemischt, durch das Ampullenverfahren herstellen, so sind wir grundsätzlich in der Auswahl der herstellbaren Zusammensetzungen auf ganz wenige Verhältniszahlen $Me_1/Me_2/.../Me_n$ und $X_1/X_2/.../X_n$ beschränkt. Dieselben ergeben sich zwangsläufig durch das Zusammenspiel der Verhältniszahlen der Halogenidsättigungsdrucke bei der Arbeitstemperatur und der Gleichgewichtslage parallel ablaufender Transportreaktionen. Wir haben nur homogene‡ Ni-Cl-Br- und Ni-Br-J- Borazitmischkristalle hergestellt (vgl. Tab. 5).

^{*} Nur Fe-Borazite korrodieren in siedendem Wasser und müssen in lauem isoliert werden, oder man löst die Korrosionsschicht mit kalter Salzsäure.

[†] Bei Einsetzen von nur 8 mg H2O führt die Korrosion bei 900°C zur totalen Zerstörung der Ampulle (reproduzierbar!).

[‡] Die α-β-Umwandlungstemperatur war im gesamten synthetisierten Material konstant.

Bei anfänglicher Verwendung von Platin als B_2O_3 -Tiegelmaterial wurde Platin, wahrscheinlich als Pt^{2+} in die Borazite eingebaut. So wird z.B. Zn-Cl-Borazit durch wenig Platin hellgelb und mehr Platin zitronengelb gefärbt. Platineinbau erhöht die α - β -Umwandlungstemperatur aller Borazite. Bezüglich OH-Einbau siehe 4.3.

2.2 Das Ein-Tiegel-Verfahren

Um grosse Einkristalle zu erhalten ist es wesentlich, die Ausgangssubstanzen MeO, B₂O₃ und MeX₂ in der Ampulle voneinander räumlich zu trennen. Man hält dadurch die spontane Keimbildungszahl im B₂O₃-hältigen Tiegel klein (Drei-Tiegel-Verfahren). Bei Mg-Br-Borazit gelang es jedoch infolge ungünstiger Transportgleichgewichtslage nicht, einen MeO-Transport von Tiegel zu Tiegel zu realisieren. Um in diesem Falle den Diffusionsweg der MeO-Transportmittel zu verkürzen, gaben wir eine Mischung von MeO, B₂O₃ und MeX₂, in einen Tiegel, wodurch ein sehr lokaler Transport (= Mineralisierung) möglich wurde und zu kleinen Kristalliten führte.

3. DISKUSSION

3.1. Allgemeines

Will man normalerweise einen Bodenkörper mit Hilfe einer chemischen Transportreaktion (z.B. Reaktion (2)) in einer Ampulle transportieren (vgl. (29)), so muss man im Temperaturgradienten arbeiten, um den für die Gasbewegung der Transportmittel (hier: MeX₂, H₂O, HX) nötigen Druckgradienten zu erzeugen. Im Falle der oben beschriebenen Borazit-Synthese lassen sich jedoch sowohl MeO als auch B₂O₃ bei entsprechenden Bedingungen isotherm transportieren, da sich ihre freie Bildungsenthalpie von der des Borazits unterscheidet, anders ausgedrückt, weil die Transport- mit der Synthesereaktion gekoppelt ist. Eine derartige Arbeitsweise ist für die Zucht guter Einkristalle von Bedeutung.

Mangels bekannter thermodynamischer Daten der Borazite lassen sich gegenwärtig noch keine Oxidtransportleistungen für das Ampullen-verfahren berechnen. Hingegen ist es möglich, die Gleichgewichtslage einer Reihe reiner Transportreaktionen der Metalloxide und von B₂O₃ nach Schäfer (Lit. 29, S.50) abzuschätzen. Wir sehen daraus, ob prinzipiell ein Transport und

damit Borazitbildung möglich ist, oder ob die Gleichgewichtslage so extrem liegt, dass mit keiner Beförderung zu rechnen ist. Eine günstige Lage der Oxidtransportgleichgewichte ist eine notwendige, jedoch nicht hinreichende Bedingung für die Borazitbildung über die Gasphase. Die günstigsten Bedingungen für den Oxidtransport werden dann vorliegen, wenn der Zahlenwert der Freien Standardenthalpie, ΔG_T° , der Transportreaktion nicht weit von Null entfernt ist. Bei grossem Absolutwert der Reaktionsenthalpie ΔH° wird hingegen kein Transport möglich sein, es sei denn, die Reaktionsantropie ΔS° wäre auch sehr gross und von gleichem Vorzeichen wie ΔH° . Dies folgt aus der Näherungsgleichung

$$\Delta G_T^{\circ} = \Delta H_{298}^{\circ} - \Delta S_{298}^{\circ} \cdot T,$$

die für die Abschätzungen verwendet wurde. Den Einfluss der Kopplung der Transportreaktionen mit der Synthesereaktion wollen wir für diese Betrachtungen vernachlässigen, da er, wie das Experiment zeigt, nur einem Temperaturgradienten beim Transport ohne Kopplung entspricht.

3.2. Der MeO-Transport

Schäfer hat eine Reihe von Reaktionstypen für den Transport von Metalloxiden zusammengestellt (Lit. 29, S.50). Wir haben am Beispiel von NiO* die Freien Standardenthalpien ΔG_T° für 1 173 und 1 000°K für alle jene angegebenen Reaktionen in erster Näherung ausgerechnet (Tab. 3): die beiden Gleichgewichte

$$MeO + 2 HX(g) = MeX_2(g) + H_2O(g)$$
 (3)

und

$$MeO + X_2(g) = MeX_2(g) + 0.5 O_2(g)$$
 (4)

versprechen bei etwa 900°C die besten Transporteigenschaften, wie aus den wenig von Null verschiedenen Freien Standardenthalpien ersichtlich ist. Dieses Ergebnis steht mit unseren Experimenten in gutem Einklang. Es ist ein glücklicher Umstand, dass gerade diese beiden MeO-Transportreaktionen günstige Gleichgewichtslagen besitzen. Die Reaktionen sind leicht zu handhaben,

^{*} Die Lage der Gleichgewichte der verschiedenen Reaktionen von Tab. 3 ändert sich nur unwesentlich, wenn man zu anderen Uebergangsmetall-oxiden MeO übergeht.

	Transportgleichgewichte für NiO	$\Delta G^{\circ}(1\ 000)$ [kcal]	ΔG°(1 173) [kcal]
(a)	$NiO+CO+Cl_2 = NiCl_2(g)+CO_2$	-23	-44
(b)	$NiO + 2 HCl = NiCl_2(g) + H_2O(g)$	+5	0
(c)	$NiO + Cl_2 = NiCl_2(g) + 0.5 O_2$	+5	0
(d) NiO	$+0.5 \operatorname{CrCl}_4(g) + 0.5 \operatorname{Cl}_2 = \operatorname{NiCl}_2(g) + 0.5 \operatorname{CrO}_2\operatorname{Cl}_2(g)$	-8	-12
e)]	$NiO + VCl_4(g) + 0.5 Cl_2 = NiCl_2(g) + VOCl_3(g)$	-33	-38
(\mathbf{f})	$NiO + SOCl_2(g) = NiCl_2(g) + SO_2$	-42	-49
g)	$NiO + PCl_5(g) = NiCl_2(g) + POCl_3(g)$	-64	-72
h)	$NiO + NbCl_5(g) = NiCl_2(g) + NbOCl_3(g)$	-28	-35
i)	$NiO + TaCl_5(g) = NiCl_2(g) + TaOCl_3(g)$	-16	-23

Tabelle 3. Freie Standardenthalpien einiger Transportreaktionen für NiO (berechnet mit der Näherungsgleichung ($\Delta G_{T}^{\circ} \cong \Delta H_{298}^{\circ} - T\Delta S_{298}^{\circ}$)

Herkunft der thermodyn. Daten: NiO⁽⁴⁸⁾; NiCl₂(g): Kombination der Daten aus⁽⁴⁸⁾ und⁽⁵⁶⁾; übrige Daten aus⁽²⁹⁾ S. 50.

ihre Transportmittel enthalten kein zu Verunreinigungen des Borazits führendes Fremdmetall und das Halogen kann je nach Borazit angepasst werden. Um die Unterschiede in den Syntheseeigenschaften der verschiedenen Borazite besser zu verstehen, haben wir für die Reaktionen (3) und (4) Reaktionsenthalpie (298°K), Reaktionsentropie (298°K) und die Freie Standardenthalpie (1 000°K, in erster Näherung) für eine Reihe von Uebergangsmetallen für die Fälle mit Cl, Br und J (s. Tab. 4) ausgerechnet:

3.2.1. Die Reaktion
$$MeO(f) + 2 HX(g) = MeX_2(g) + H_2O(g)$$
 (3)

Die in dieser Arbeit beschriebenen Borazitsynthesen wurden fast alle mit Hilfe der Transportreaktion (3) realisiert. Aus den Berechnungen (Tab. 4) entnimmt man folgendes:

- (i) Das Transportgleichgewicht (3) liegt für CrO, MnO, FeO, CoO und NiO nicht extrem, wie die niedrigen Absolutwerte von ΔH° und ΔG° zeigen. Die guten Kristallisationseigenschaften der Borazite der fünf Metalle stehen damit im Einklang; für den Chromoxidtransport sind allerdings noch weitere parallel ablaufende Reaktionen zu erwarten [vgl. hierzu (Lit. 29, S.76)].
- (ii) Im Falle von Magnesium liegen die Gleichgewichte (3) stark auf der MgO/HX-Seite, aber noch nicht extrem. Damit steht im Einklang, dass uns die Mg-Br-Borazitsynthese nur bei sehr kleiner Diffusionstrecke der Transportmittel gelang

- (siehe 2.2.). Die Mg-Cl-Borazitsynthese wurde nicht versucht, die Mg-J-Borazitsynthese misslang bis jetzt, obwohl Allaire⁽¹³⁾ die Verbindung erhielt.
- (iii) Der VO-Transport mittels HCl/VCl₂ ist der Berechnung nach möglich, bei Verwendung von HBr/VBr₂ und HJ/VJ₂ jedoch nur bei starker Temperaturerhöhung, welcher—wie bei den Mg-Boraziten—die zunehmende Korrosion des Quarzes und die Beschränkung durch die Borazitschmeltztemperatur entgegenstehen. Möglicherweise lässt sich der VO-Transport über andere Reaktionen verwirklichen [vgl. hierzu (Lit. 29, S.76, Lit. 30) und Tab. 3].
- (iv) Der TiO-Transport mittels Reaktion (3) ist der Rechnung nach ausgeschlossen: entgegengesetztes Vorzeichen von ΔH° und ΔS° und hoher Absolutwert von ΔG° zeigen dies an. Unsere Versuche scheinen diesen Befund zu bestätigen: es gelang bis jetzt noch nicht, Ti-Borazit über die Gasphase zu erhalten.
- (v) Die Lage des Transportgleichgewichtes (3) mit ZnO/ZnCl₂/HCl ist der Berechnung nach günstig. Dies stimmt mit der guten Zn-Cl-Borazitkristallisation überein. Die Gleichgewichte für ZnO mit ZnBr₂/HBr und ZnJ₂/HJ liegen etwas auf der Halogenid-Seite; wir erhielten jedoch die beiden Borazite, wenn auch in schlecht kristallisierter Form.
- (vi) Für den CdO-Transport liegt Gleichgewicht (3) mit HBr/CdBr₂ und HJ/CdJ₂ relativ ungünstig. Da wir aber trotzdem bei 900°C Borazit-

Tabelle 4. Reaktionsenthalpien, Reaktionsentropien und Freie Standardenthalpien einiger Transportreaktionen der Oxide MeO und B2O3*

Reaktion												Me	$\mathrm{eO}(f)$	+2 H	X(g)	= Me	$X_2(g)$	+H2C)(g)											
Me		Mg			Ti			v			Cr			Mn			Fe			Co			Ni			Zn			Cd	
X	Cl	Br	J	Cl	Br	J	Cl	Br	J	Cl	Br	J	Cl	Br	J	Cl	Br	J	Cl	Br	J	Cl	Br	J	Cl	Br	J	Cl	Br	J
ΔH298	+30	+31	+34	-12	-11	-12	+39	+66	+79	+33	+30	+31	+17	+14	+12	+20	+13	+1	+22	+17	+15	+30	+22	+19	+1	4	- 5	-3	-16	-2
ΔS_{298}°	+11	+11	+11	+23	+22	+22	+22	+21	+21	+21	+21	+20	+15	+14	+14	+17	+17	+16	+19	+19	+18	+20	+20	+19	+8	+7	+7	+11	+11	+10
ΔG ₁₀₀₀	+19	+20	+23	- 35	-33	- 34	+17	+45	+58	+12	+9	+11	+2	0	-2	+3	-4	-17	+3	-2	-3	+10	- - 2	0	-7	-11	-12	-14	- 27	-33
Reaktion				***************************************	MeO	(f)+	$-X_2(g)$) =M	$eX_2(g$)+0.5	5 O2(g)					CuO((f)+2 = C	2 H <i>X</i> (u <i>X</i> (g))(g)+	0·5 X		CuO(f)+0	• 5 X ₂ ;	(g) : Cu <i>X</i>	(g)+	0∙5 O	2(g)
Me		Mg			Co			Ni			Zn			Cd					C	u							Cu			
X	Cl	Br	J	Cl	Br	J	Cl	Br	J	Cl	Br	J	Cl	Br	J		C1		1	Br		J		C	1	***************************************	Br			J
ΔH2°8	+44	+64	+89	+36	+50	+70	+44	+55	+75	+15	+28	+40	+11	+17	+33		+55		+	38		+36		+69)	-	⊹71		+	92
ΔS298	+26	+27	+27	+35	+35	+35	+36	+36	+36	+23	+23	+24	+26	+27	+26		+29		+	28	-	+28		+44	}		+44		+	44
$\Delta G_{1^{\circ}000}$	+18	+37	+62	+1	+15	+35	+9	+29	+39	-8	+5	+16	-15	-10	+6		+27		+	10		+8		+25	5	-	+27		+	48
Reaktion	B2O3(fl)+6	HX(g	() = 2	$BX_3(g$)+31	$H_2O(g)$) B ₂ (O3(fl)-	+3 <i>X</i> ₂((g) =	2 B <i>X</i> 3	(g)+1	· 5 O ₂	B ₂ O	3(<i>fl</i>)+	2H <i>X</i>	(g) = 0	·67(B0	O <i>X</i>)s(g) + H	I ₂ O(g)	B ₂ O ₃	(fl)+2	$X_2(g)$	=0.67	(BOX)a(g)-	⊢0·5 () ₂ (g)
X		Cl				Br					CI			,		***************************************		(CI							Cl				
ΔH ₂₉₈		+68			+	-87		+33					***************************************	+95						+33						-				
ΔS298		- 12			_	-13			+14						+51						+14									
ΔG_{1000}°		+80			+	100			+19						+44						+19						***************************************			

+95

+51

 ΔH_{298}°

 ΔS_{298}°

* Die G_T° -Werte wurden mit der Näherungsformel $\Delta G_T^\circ = \Delta H_{298}^\circ - T \cdot \Delta S_{298}^\circ$ berechnet. Herkunft der thermochemischen Zahlenwerte : sofern nicht im folgenden besonders angegeben, so stammen die ΔH_{298}° -und S_{298}° -Werte aller in den Rechnungen vorkommenden Verbindungen aus. (48)

	ΔH_{298}°	S298		ΔH_{298}°	S_{298}°
$V\mathrm{O}(f) \ \mathrm{Me} X_2(g)$	(48)	(58)	HB	$\mathrm{IO}_2(g)$ (38)	(38)
$\mathrm{Me}X_2(g)$	(55)	(55)	(BC	$OCl_3(g)$ (40)	(40)
BCls, BBrs	g(g) (48)	(59)	Čr	O(f) †	‡

^{† -77} kcal, angenähert mit Hilfe des Born-Haber-Zyklus FeO+CrCl₂ = CrO+FeCl₂ (vgl. z.B.⁽⁶⁰⁾). ‡ geschätzt, 10 cl ± 2.

 $[\]Delta G_{1000}^{0}$ +44

bildung im B_2O_3 -Tiegel beobachteten, nehmen wir an, dass CdO, zumindest teilweise, mittels Eigenverdampfung transportiert wurde ($p_{CdO} \approx 0.1$ Torr bei 900°C, Mittelwert aus⁽³¹⁾ und⁽³²⁾).

3.2.2. Die Reaktion
$$MeO(f) + X_2(g) = MeX_2(g) + 0.5 O_2(g)$$
 (4)

In Tab. 4 haben wir auch einige Daten von Transportgleichgewichten des Typs (4) zusammengestellt, da uns diese Reaktion wichtig erscheint, wenn man OH⁻-freie Borazite züchten will. Bei den Oxiden CoO, NiO, ZnO und CdO finden wir z.T. günstige Transporteigenschaften der Gleichgewichte (4) (vgl. 4.4).

3.2.3. Der Transport von CuO*

Der von uns bei den Kupferborazit- und Kupferboratsynthesen bei 900°C beobachtete CuO-Transport konnte nicht wie der der anderen Oxide MeO über die Halogenide MeX₂ verlaufen, da dieselben bei dieser Temperatur völlig in die Kupfer(I)halogenide und Halogen zerfallen. (33) Es stehen daher die Reaktionen

$$CuO(f) + 2 HX(g) = CuX(g) + H_2O(g) + 0.5X_2(g)$$
 (5)

$$CuO(f) + 2 HX(g) = 0.33 Cu_3X_3(g) + H_2O(g) + 0.5 X_2(g)$$
 (6)

$$CuO(f) + 0.5 X_2(g) = CuX(g) + 0.5 O_2(g)$$
 (7)

$$CuO(f) + 0.5 X_2(g) = 0.33 Cu_3 X_3(g) + 0.5 O_2(g)$$
(8)

zur Diskussion. Nach Brewer und Lofgren (34) ist die Existenz von Cu_3Br_3 und Cu_3J_3 sehr wahrscheinlich. Fedorov und Shakhova (35) finden jedoch, dass Cu_3Br_3 oberhalb 450°C im gesättigten Dampf abwesend ist. Dies dürfte auch für Cu_3J_3 gelten. Wenn also X = Br oder J, so kann der CuO-Transport bei 900°C im gesättigten Halogeniddampf offenbar nur über CuX ablaufen und wie aus Tab. 4 ersichtlich, wohl leichter mittels Reaktion (5) als (6). Gesättigter Kupfer (I)-chloriddampf (s. Tab. 2) besteht nach Brewer und Lofgren bei 900°C fast ausschliesslich aus Cu_3Cl_3 . Deswegen dürfen wir annehmen, dass

bei der Cu-Cl-Borazitsynthese der CuO-Transport hauptsächlich über Cu₃Cl₃ erfolgte (der von Schäfer und Etzel^(29,36) zwischen 900 und 1 100°C beobachtete Cu₂O-Transport über CuCl betraf nämlich Kupfer(I)halogeniddrucke von nur etwa 10⁻² Torr!).

3.3. Der Transport von B₂O₃

Gelegentlich einer Versuchsreihe zum Studium des Wachstums von Boraziten in Abhängigkeit vom H₂O-bzw. HX-Druck machten wir die Feststellung, dass B₂O₃ bei höheren H₂O/HX-Drucken mit Hilfe einer Transportreaktion wanderte (vgl. 2.1.3.). Es war zunächst nicht ersichtlich, welche Reaktionen dafür verantwortlich waren. Wir wollen daher verschiedene B₂O₃-Transportreaktionsmöglichkeiten diskutieren:

3.3.1. Verdampfung von B₂O₃

Auf Grund neuerer Artbeiten⁽³⁷⁾ kann man den B₂O₃-Dampfdruck bei 900°C mit etwa 10⁻⁹ atm. völlig vernachlässigen.

3.3.2. Die Reaktionen

$$B_2O_3(f) + H_2O(g) = 2 \text{ HBO}_2(g),$$
 (9)

$$B_2O_3(f) + 3 H_2O(g) = 2 H_3BO_3(g),$$
 (10)

und

$$B_2O_3(fl) + H_2O(g) = 0.667(HBO_2)_3(g)$$
 (11)

Durch die Arbeiten von White und Mitarb. (38) (Infrarotspektrometrie) und Meschi und Mitarb. (39) (Massenspektrometrie) ist das System B₂O₃ (fl., gs.)-H₂O (gs.) zwischen 1060 und 1 450°K recht gut bekannt : im genannten Temperaturbereich treten im Massenspektrograph die Ionen H_2O^+ , $HBO_2^+H_3BO_3^+$ und $(HBO_2)_3^+$ auf. Der HBO2-Partialdruck überwiegt im gesamten Temperaturbereich und ist bei 1 435°K mit 14 Torr H₂O etwa hundert mal grösser als der von H₃BO₃ bzw. (HBO₂)₃. (38) Bei unseren Versuchen, welche starken B2O3-Transport zeigten, herrschte sowohl tiefere Temperatur (1 173°K) als auch höherer H₂O-Druck (etwa 0·1-1 atm.). Daher dürften die Anteile von H₃BO₃ und (HBO₂)₃ bedeutender gewesen sein und sich auch am B2O3-Transport nach Gleichung (10) und (11) beteiligt haben, zumal das Gleichgewicht (9) bei 1 173°K noch nicht sehr günstig liegt $(p_{HBO_{\circ}}(1\ 124^{\circ}K) \approx$ 5×10^{-2} Torr bei $p_{\text{H}_2\text{O}} = 1$ atm. (39); vgl. Tab. 4).

^{*} Wenn bei 20°C CuO eingesetzt wird, erhält man bei 900°C auch kleine Mengen Cu₂O als Bodenkörper, da der O₂-Partialdruck von CuO_(900°C) = 12.6 Torr. (47)

3.3.3. Die Reaktionen

$$B_2O_3(ft) + 6 HX(g) = 2 BX_3(g) + 3 H_2O(g)$$
 (12) und

$$B_2O_3(f) + 3 X_2(g) = 2 BX_3(g) + 1.5 O_2(g)$$
 (13)

Die Gleichgewichte der Reaktionen (12) und (13) liegen extrem (auf der B₂O₃-Seite) und brauchen für einen B₂O₃-Transport nicht berücksichtigt zu werden (vgl. Tab. 4).

3.3.4 Die Reaktionen

$$B_2O_3(fl) + 2 \text{ HCl}(g) = 0.667(BOCl)_3(g) + H_2O(g)$$
und
$$B_2O_3(fl) + Cl_2(g) = 0.667(BOCl)_3(g) + O_2(g)$$

$$G_2 \circ G_3(f) + G_2(g) = G_3 \circ G_3(g) + G_2(g)$$
(15)

Gleichgewichtsstudien (bis 825°K)⁽⁴⁰⁾ an der Reaktion

$$B_2O_3(fl) + BCl_3(g) = (BOCl)_3(g)$$
 (16)

ergaben thermodynamische Daten für (BOCl)₃(g) und erlaubten uns daher die Abschätzung der Gleichgewichtslage von Reaktion (14) und (15): unter der Voraussetzung, dass (BOCl)₃ bei 900°C noch stabil ist, sollte man bei dieser Temperatur B₂O₃-Transport erzielen (vgl. Tab. 4). Um dies zu prüfen, synthetisierten wir Ni-Cl-Borazit nach dem Drei-Tiegel-Verfahren unter vollkommenem H₂O-Ausschluss, d.h. mit Hilfe von Reaktion (4) und Einsatz von 660 Torr Cl₂ bei 20°C. Es trat kein B₂O₃-Transport in den NiO-Tiegel auf, woraus geschlossen werden kann, dass der (BOCl)₃-Gehalt (bei 900°C) äussert klein war.

Reaktion (16) fiel für einen B₂O₃-Transport bei unseren Versuchsbedingungen ausser Acht, da die Gleichgewichte (12) und (13) völlig auf der B₂O₃-Seite liegen.

Zusammenfassend kann gefolgert werden, dass der bei unseren Versuchen beobachtete B₂O₃-Transport offenbar ausschliesslich über die B₂O₃-Hydrate verlief.

3.4. Umgehen der Herstellung von MeO und MeX₂
Die Herstellung mehrer Metalloxide MeO und
Halogenide MeX₂ ist umständlich. Viele dieser
Verbindungen sind oxidationsempfindlich und
(oder) hygroskopisch. Wir haben daher teilweise

versucht, sie in derselben Reaktionsampulle herzustellen, in der die Borazitkristallisation vor sich ging:

- (a) Einsatz von Me₂O₃+Me anstelle von MeO (erprobt für Fe₂O₃+Fe und Cr₂O₃+Cr)
- (b) Einsatz von Me+ J_2 anstelle von Me J_2 (erprobt für Cr+ J_2 , Mn+ J_2 und Fe+ J_2)
- (c) Einsatz von MeX₃+Me (erprobt für CrBr₃+Cr)

Mit Hilfe einer Vielzahl von mineralisierenden Hilfsreaktionen wird der Umsatz dieser Komponenten erleichtert. Sehr gute Ergebnisse erzielten wir bei den Kombinationen Fe_2O_3+Fe , $FeBr_2$ und Cr_2O_3+Cr , $Cr+J_2$. Ansonsten lohnt es sich jedoch meist, MeO und Me X_2 herzustellen um gute Einkristalle zu erhalten. Die grosse Zahl von parallel ablaufenden Transportreaktionen scheint nämlich die Keimzahl zu erhöhen.

3.5 Boratbildung als Konkurrenzreaktion für die Borazitbildung

Analog zur Borazitbildung (s. Transportschema Tab. 1) kann die Synthese von Boraten vollkommen oder teilweise über die Gasphase verlaufen z.B.

$$n \operatorname{Me} X_2(g) + n \operatorname{H}_2O(g) + m \operatorname{B}_2O_3 \text{ (fl. od. gs.*)}$$

= $n \operatorname{MeO} \cdot m \operatorname{B}_2O_3(f) + 2n \operatorname{H} X(g)$,
oder $2 \operatorname{Me} X_3(g) + 3 \operatorname{H}_2O(g) + \operatorname{B}_2O_3 \text{ (fl. od. gs.*)}$
= $2 \operatorname{MeBO}_3(f) + 6 \operatorname{H} X(g)$, usw.

Wir erhielten auf diese Weise eine Reihe von Boraten als Nebenprodukte des Borazits: MgO·B₂O₃ (bei 900°C), ZnO·B₂O₃ (bei 900°C), ZnO·B₂O₃ (bei 900°C), ZnO·B₂O₃ (von 600 bis 900°C), Cr BO₃ (940–1 000°C)⁽⁴¹⁾ VBO₃ (900°C,⁽⁴¹⁾ TiBO₃ (900°C)⁽⁴¹⁾ und ein Ni–Al-Borat (Synthese bei 900°C im Korundtiegel). Soll das Auftreten von Borat jedoch vermieden werden, so muss vor allem mit einem B₂O₃- und MeX₂-Ueberschuss (gegenüber der Borazitstöchiometrie) gearbeitet werden. Aus technischen Gründen soll der B₂O₃-Ueberschuss jedoch möglichst klein sein (vgl. hierzu 2.1.2).

4. EIGENSCHAFTEN DER KRISTALLE

Ueber die magnetischen, dielektrischen⁽¹⁾ und optischen Eigenschaften, sowie über Zwillingsbildung und Wachstumsmechanismen wird an

^{*} gs. = gasförmige Bor-Verbindung.

Tabelle 5. Farbe, Thermochroismus, Gitterkonstanten und α-β-Umwandlungstemperaturen der Borazite*

Borazit	Farbe	Thermochroismus	Kubische Gitterkonstante a_0 (Kub.) bei 20° C [Å]	Optisch bestimmte ortho- rhombisch-kubische Umwandlungstemperatur [°K]	Maximale Einkristallgrösse (mm)
Mg-Cl Cr-Cl	farblos grünblau		$12.070 \pm 0.004^{(17)}, 12.09^{(15)}$ 12.121 ± 0.005 $12.15^{(15)}$	538 ⁽¹⁷⁾ 251–257	4
Mn-Cl	blass rosa		$12 \cdot 248 \pm 0 \cdot 005^{(17)}$	680(17)	1
Fe-Cl	blass violettrosa	∫ violettrosa ⟨~ 115°C ⟨grün ⁽²⁵⁾ violettrosa ⟨~ 115°–150° grau ⟨150°C grün‡	$12 \cdot 177 \pm 0 \cdot 007^{(17)}, 12 \cdot 19^{(15)}$	607, 603, ⁽¹⁷⁾	8
Co-Cl	dunkelrotviolett		$\begin{cases} 12.123 \pm 0.005^{(17)} \\ 12.120 \pm 0.004 \end{cases}$	623(17)	8
Ni-Cl	braungelb	grün ⟨~ −190°C ⟨braungelb	$\begin{array}{c} 12.019 \pm 0.002^{(17)} \\ 12.019 \pm 0.003 \end{array}$	610, 610 ⁽¹⁷⁾	13
Cu-Cl	blass grüngrau		11.935 ± 0.003	365	5
Zn-Cl	farblos		$\begin{cases} 12.140 \pm 0.004^{(17)} \\ 12.065 \pm 0.005^{(17)} \end{cases}$	723(17)	3
Cd-Cl	farblos		$\begin{array}{c} 12.065 \pm 0.005 \\ 12.49^{(15)} \end{array}$	798(16)	
Mg–Br Cr–Br Mn–Br	farblos blaugrün blass rosa		12.079 ± 0.004 12.153 ± 0.002 12.301 ± 0.002	291-294 < 10(?) 564-569	0·2 1 1
Fe-Br	fleischfarben	∫ fleischfarben ⟨~ +190°C ⟨graubraun†	12.190 ± 0.002	499	8
Co-Br Ni-Br	dunkelblauviolett gelbbraun	fleischfarben ⟨~ +135°C ⟨graunbraun‡ grün ⟨~ −190°C ⟨gelbbraun	$12.108 \pm 0.005 12.035 \pm 0.004$	458 398	10 15
Cu–Br	grünblau	∫grünblau ⟨~ +300° bis ~350°C ⟨grün† grünblau ⟨~ +270° bis ~350°C ⟨grün‡	11.955 ± 0.009	222-226	5
Zn-Br	farblos	(8-41-4	$12 \cdot 104 \pm 0 \cdot 003$	∫ 574 (vgl. 4·3) ∫ 584–587	0.2
Cd-Br	farblos		12.501 ± 0.003	732-737	1
Mg-J	farblos(13)				_
Cr-J Mn-J	blaugrün blass rosa		12·171 ± 0·005 12·32 + 0·03	< 10(?) 411–413	3 0·5
Fe-J	violettrosa		12·32±0·03 12·225 + 0·004	345	5
Co-J	grün bei Tageslicht violettrot bei Kunstlicht§	t	12.119 ± 0.005	193–201	8
Ni-J	dunkelbraungrün	grün ⟨~ −190°C ⟨dunkelbraungrün	12.046 ± 0.005	60–62	13
Zn-J	farblos	0 /	12.091 ± 0.003	681–693	0.2
CdJ	farblos		12.56 ± 0.02	611–623	3
NiCl~0.5-	braungelb	grün ⟨~ −190°C ⟨braungelb	12·031 ± 0·005	498	12
$ Br \sim 0.5 $ Ni-Br \sigma 0.9- $ J \sim 0.1 $	gelbbraun	grün $\langle \sim -190^{\circ} \text{C} \langle \text{gelbbraun} \rangle$	12.028 ± 0.005	368	10

^{*} sofern nicht anders angegeben, entstammen die Daten und Beobachtungen dieser Arbeit
† bei Kunstlicht
‡ bei Tageslicht
§ Alexandriteffekt
|| bei den Boraziten die bei zimmertemperatur die Tieftemperaturphase besitzen sowie bei Ni-J-Borazit handelt es sich um die pseudo-kubische Gitterkonstante

anderer Stelle berichtet. Wir beschränken uns daher hier nur auf wenige Punkte:

4.1 Form und Güte

Alle dargestellten Borazite wiesen nur die Flächenarten (100), (110) und (111) auf, wobei je nach Borazit und Herstellung die einzelnen Flächen verschieden stark dominierten. Die grössten Kristalle wurden bei den Ni-, Co-, Feund Cu-Boraziten erhalten (vgl. Tab. 5). Es handelte sich stets um verzwillingte Pseudoeinkristalle. Aeusserlich wohlgeformte Kristalle zeigten im Innern oft Hohlräume, die auf ein anfänglich dendritisches Wachstum deuteten. Jene Borazite, deren α - β -Umwandlungstemperatur (vgl. Tab. 5) oberhalb Raumtemperatur liegt, springen oft beim Abkühlen, was auf Volumsänderungen beim Umwandlungspunkt deutet.

4.2. Farbe, Thermochroismus und Alexandriteffekt Die Farben aller Borazite wurden in Tab. 5 zusammengestellt. An den Ni-Cl-, Ni-Br-, Ni-J, Ni-Cl-Br-, Ni-Br-J- und Cu-Br-Boraziten beobachteten wir bis jetzt noch unbekannt gewesene Farbwechsel bei Temperaturänderung. Den von Heide(2,17,42) gefundenen rot-grün-Wechsel bei Fe-Cl-Borazit konnten wir bestätigen, beim fleischfarbenen Fe-Br-Borazit fanden wir jedoch nur eine Braun- und keine Grünfärbung beim Erhitzen, wie Heide.

Die in Tab. 5 angegebenen Umschlagtemperaturen gelten nur ganz annähernd, da der Farbwechsel bei allen Boraziten ein allmählicher ist, wie schon RINNE⁽⁴³⁾ für eisenhältigen Mg-Cl-Borazit festellte. Es besteht übrigens kein mit dem Auge sichtbarer Zusammenhang zwischen Farbwechsel und der α-β-Umwandlung.

Die Temperaturen der Farbänderungen oberhalb 20°C wurden in einem Dewarrohr an dünnen Kristallplättchen gemessen, die in direktem Kontakt mit einem Thermoelement standen. Für die Ni-Borazite wurde die Farbe nur nach Abkühlung mit flüssigem Stickstoff angegeben.

Am Co-J-Borazit beobachteten wir eine prächtige Farbänderung-Tageslicht dunkelblaugrün, Glühbirnenlicht violett-, also einen "Alexandriteffekt"; Heide⁽⁴²⁾ fand an eisenhältigem Mg-Cl-Borazit einen "Antialexandrit-effekt", d.h. bei Tageslicht rot und bei Kunstlicht grün.

4.3 Temperatur der Phasenumwandlung

Fast alle Borazite besitzen eine Hoch (α)- und eine Tieftemperatur (β)-Phase. Ito und Mitarb.(18) bestimmten an Mg-Cl-Borazit die Raumgruppe der kubischen α -Phase zu T_d^5 und die der orthorhombischen β -Phase zu C_{2v}^5 . Die Temperaturen der Umwandlungen unterscheiden sich jedoch stark je nach Metall und Halogen. Die meisten Umwandlungstemperaturen der Cl-Borazite waren bereits bekannt, (16,17) wir bestimmten die restlichen und die der Br- und I-Borazite (vgl. Tab. 5) im polarisierten Licht unter dem Mikroskop. Für die Bestimmungen oberhalb 20°C diente ein Heiztisch, unterhalb dagegen ein Dewarrohr mit einem Stickstoffstrom von regelbarer Temperatur. Zur Beobachtung eigneten sich am besten dünne Kristallplättchen. Die Umwandlung beginnt bzw. endet stets in reproduzierbarer Weise an ganz bestimmten Stellen eines gegebenen Kristalls. Die Temperaturdifferenz zwischen jenen verschiedenen Stellen betrug je nach Borazit 0.2 bis mehrere Grade. Die in Tab. 5 angegebenen beiden Werte bezeichnen jene Differenzen, nicht jedoch eine Hysterese. Für einen gegebenen Punkt im Kristall konnten wir bei einer relativen Genauigkeit von ±0.1 Grad und einer Temperaturänderung von 1°/min. nie eine Hysterese feststellen. Die Unterschiede der Umwandlungstemperaturen in ein- und demselben Kristall lassen sich durch mechanische Spannungen, die von Wachstumszentren ausgehen und durch Sektorwachstum bedingte leichte chemische Unterschiede erklären. (Wir werden demnächst hierüber näher berichten.) Bei den Cd-Br-, Cd-Jund Zn-J-Boraziten war die genaue Beobachtung der Umwandlung sehr erschwert, da sich die Aenderung der Doppelbrechung fast kontinuierlich in dem angegebenen Temperaturintervall vollzog.

Als Regeln für die Umwandlungstemperaturen finden wir :

- (a) die Umwandlungstemperatur steigt mit abnehmendem Halogenionenradius
- (b) die Umwandlungstemperatur steigt im Durchschnitt mit zunehmendem Metallionenradius und
- (c) die Umwandlungstemperaturen von Mischkristallen liegen zwischen denen der Randverbindungen.

Bei Zn-J-Borazit fiel auf, dass er sich bei einer höheren Temperatur umwandelte und seine Gitterkonstante kleiner war (vgl. Tab. 5) als es Regel (a) bzw. der Systematik der Gitterkonstanten entsprochen hätte. Beide Anzeichen deuteten auf OH--Einbau. Kürzlich begonnene Versuche scheinen die Richtigkeit dieser Annahme zu beweisen: ein unter peinlichem Wasserausschluss mit Hilfe von Reaktion (4) dargestellter Zn-Br-Borazit (3 g ZnO, 165 g ZnBr₂, 190 Torr O₂ bei 20°C) zeigte einen α-β-Umwandlungspunkt von 301°C, gegenüber 311°C als mit Reaktion (3) gearbeitet wurde. Dies kann zur Folge haben, dass noch einige der bestimmten Umwandlungstemperaturen und Gitterkonstanten in der Zukunft mehr oder minder grosse Korrekturen erfahren werden.

4.4 Die Gitterkonstanten

Die Identifizierung der Borazite erfolgte durch Cr-K_α-Pulver-Aufnahmen. Die kubischen bzw. pseudokubischen Gitterkonstanten (Tab. 5) wurden durch Mitteln aus den Rückwärtsreflexen bestimmt. Die Gitterkonstanten steigen im Durchschnitt mit zunehmendem Metallionen- und Halogenionenradius. Der Einfluss des Halogenions ist jedoch viel geringer als der des Metallions.

5. ERWAGUNG VON BIS IETZT NOCH UN-BEKANNTEN BORAZITBILDENDEN IONEN

Prüft man das Periodensystem der Elemente auf die Existenz von borazitbildenden bzw. in Borazit einbaufähigen zweiwertigen Ionen, und zieht hierzu als Kriterien den passenden Ionenradius und die Existenz des zweiwertigen Zustandes heran, so findet man, dass vor allem die Konfigurationen $3d^2$ bis $3d^{10}$, $4d^2$ bis $4d^{10}$ und $5d^2$ bis 5d10 in Frage kommen. In der 3d-Reihe sind bis jetzt nur die Ti- und V-Borazite nicht bekannt, in der 4d-Reihe kennen wir nur die Cd-Borazite und in der 5d-Reihe haben wir nur den experimentallen Befund (s.o.), dass Platin eingebaut werden kann. Der zweiwertige Zustand ist bei allen genannten Konfigurationen bekannt ausser bei Ir und Au (vgl.(44,45,46)). Da auch die Ionenradien fast aller Ionen innerhalb passender Grenzen liegen, besteht also noch die Möglichkeit der Auffindung einer Reihe neuer Borazite oder zumindest von neuen Mischkristallen. Da nach den bisherigen Erfahrungen die Borazitstruktur die ausgesprochene

Tendenz zeigt, im wesentlichen nur zweiwertige Ionen zum Einbau zuzulassen, scheint es reizvoll zu versuchen, bisher wenig bekannte und oxidationsempfindliche zweiwertige Zustände, vielleicht auch Ir2+ und Au2+, in Boraziten zu stabilisieren. Ob die grossen Erdalkaliionen Borazite bilden ist unsicher; sie dürften sich jedoch gut in die stark aufgeweiteten Mn- und Cd-Borazite einbauen lasssen. Jona(16) versuchte, die Ba- und Pb-Borazite darzustellen und erhielt Substanzen mit den kubischen Gitterkonstanten a = 11.55 Åbzw. a = 11.37 Å, die kleiner als jene von Cu-Cl-Borazit (a = 11.94 Å) sind und doch grösser als die von Cd-Cl-Borazit ($a = 12.49 \text{ Å}^{(15)}$) sein sollten, wenn es sich um Borazite handeln würde (vgl. Tab. 5). Da sich die Halogene der Borazite z.T. durch OH- ersetzen lassen, darf man auch damit rechnen, dass sich Fluor in kleinen Mengen einbauen lässt.

Anerkennungen-Die vorliegende Arbeit wurde grösstenteils vom Centre National d'Etudes des Télécommunications, Paris, Issy-les-Moulineaux, unterstützt, wofür wir an dieser Stelle unseren Dank aussprechen möchten.

Die Herren Dr. E. ASCHER und Prof. A. JANNER spielten eine entscheidende Rolle in der Vorgeschichte zu dieser Arbeit. Herr Prof. B. ELSCHNER lenkte sodann im speziellen unsere Aufmerksamkeit auf die Verbindungsklasse Borazit. Ihnen allen gebührt besonderer Dank.

Herrn Dr. R. Funk danken wir für fruchtbare Diskussionen und Herrn Doz. Dr. Kühnl, Giessen, für die freundliche Darstellung und Ueberlassung einer Reihe wasserfreier Halogenide.

Den Herren G. KLIEGL und W. KOHLI sowie Frau V. ZEGA gebührt besonderer Dank für die Durchführung aller präparativen Arbeiten und Herrn H. RIEDER für die der röntgenographischen und optischen Messungen.

LITERATUR

- 1. ASCHER E., SCHMID H. und TAR D., Solid State Comm. 2, 45 (1964).
- Heide F., Chem. Erde, 17, 211 (1955).
- 3. KÜHN R. und SCHAACKE I., Kali und Steinsalz, Heft 11, Okt. 1955, S. 33.
- 4. Honea R. M. und Beck F. R., Amer. Mineralogist **47,** 665 (1962).
- 5. D'ANS J. und BEHRENDT K. H., Kali und Steinsalz **2,** 121 (1957).
- 6. HEINTZ W. und RICHTER G. E. (Pogg), Ann. Phys. **110,** 613 (1860).
- 7. PRECHT H. und WITTJEN B., Ber. 14, 2 134 (1881).
- 8. De Grammont A., Bull. Soc. Min. 13, 252 (1890); C.R. Acad. Sci. 111, 43 (1890).

- Van't Hoff J. H., Untersuchungen über die Bildungsverhältnisse der ozeanischen Salzablagerungen, Hrsg. von H. Precht und E. Cohen, Leipzig, Akad. Verl. ges. 1912.
- ROUSSEAU G. und ALLAIRE H., C.R. Acad. Sci. 116, 1 195 (1893).
- ROUSSEAU G. und ALLAIRE H., C.R. Acad. Sci. 116, 1 445 (1893).
- ROUSSEAU G. und ALLAIRE H., C.R. Acad. Sci. 119, 71 (1894).
- 13. ALLAIRE H., C.R. Acad. Sci. 127, 555 (1898)
- LEONHARDT J. und BERDESINSKI W., Fortschr. Min. 28, 35 (1949).
- Deiss W.-J. und Blum P., C.R. Acad. Sci. 244, 464 (1957).
- 16. Jona F., J. phys. Chem. 63, 1 750 (1959).
- 17. HEIDE F., WALTER G. und URLAU R., Naturwissenschaften 48, 97 (1961).
- Ito T., Morimoto N. und Sadanaga R., Acta Cryst. 4, 310 (1951).
- CADY W. G., Piezoelectricity, S230/31. McGraw-Hill (1946).
- Le Corre Y., J. Phys. Radium 18, 629 (1957).
- Sonin A. S. und Zheludev I. S., Kristallografiya 8, 183 (1963).
- 22. Demnächst.
- KÜHNL H. und ERNST W., Z. anorg. allg. Chem. 317, 84 (1962).
- EHRLICH P., HEIN H. S. und KÜHNL H., Z. anorg. allg. Chem. 292, 139 (1957).
- SCHMID H., Notiz zur Darstellung von wasserfreiem MnCl₂, demnächst.
- Brauer G., Handbuch der Präparativen Anorganischen Chemie, Stuttgart, 1962.
- NITSCHER., BÖLSTERLI H. U. und LICHTENSTEIGER M. J. Phys. Chem. Solids 21, 199 (1961).
- 28. Foëx M., Ann. Chim. (Paris), 11, 384 (1939).
- 29. Schäfer H., Chemische Transportreaktionen. Verlag Chemie Weinheim (1962).
- GLEMSER O. und MÜLLER A., Z. anorg. allgem. Chem. 325, 220 (1963).
- 31. HINCKE W. B., J. Am. Chem. Soc. 55, 1 751 (1933).
- 32. UENO H., J. Chem. Soc. Jap. 62, 990 (1941).
- Gmelins Handbuch d. Anorg. Chemie. Bd. Kupfer, Tl.B.Lief. 1 (1958).
- Brewer L. und Lofgren N. L., J. Am. Chem. Soc. 72, 3 038 (1950).
- FEDOROV P. I. und SHAKHOVA M. N., M. Izv. Vysshikh Uchebn. Zavedenii Khim. ikhim. Tekhnol. 4, 550 (1961).
- SCHÄFER H. und ETZEL K., Z. anorg. allg. Chem. 291, 294 (1957).
- HILDENBRAND D. L., HALL W. F. und POTTER N. D., J. chem. Phys. 39, 296 (1963).
- WHITE D., MANN D. E., WALSH P. N. und SOMMER A., J. chem. Phys. 32, 488 (1960).
- Meschi D. J., Chupka W. A. und Berkowitz J., J. chem. Phys. 33, 530 (1960).
- BLAUER J. und FARBER M., J. chem. Phys. 39, 158 (1963).
- 41. SCHMID H., Acta Cryst, 17, 1080 (1964).

- 42. Heide F., Naturwissenschaften 48, 401 (1961).
- 43. RINNE F., Jahrb. f. Min 2, 108 (1900).
- 44. REMY H., Lehrbuch der Anorg. Chemie. Leipzig 1959.
- FERGUSSON J. E., ROBINSON H. B. und ROPER W. R., J. Chem. Soc. 2, 113 (1962).
- FERGUSSON J. E. und NYHOLM R. S., Nature 183, 1 039 (1959).
- ROBERTS H. S. und SMITH F. H., J. Am. Chem. Soc. 43, 1 061 (1921).
- Rossini F. D., etc., 'Selected values of chemical thermodyn. properties', Circular Nat. Bur. Stand., No. 500 (1952).
- SCHÄFER H. und KREHL K., Z. anorg. allg. Chem. 268, 25 (1952).
- 50. COUGHLIN J. P., J. Am. Chem. Soc. 73, 5 314 (1951).
- Fischer W. und Gewehr R., Z. anorg. Chem. 222, 303 (1935).
- Handbook of Chemistry and Physics. The Chemical Rubber Publishing Co., Cleveland, Ohio, 1960.
- WARTENBERG H. v. und BASSE O., Z. Elektrochem. 28, 384 (1922).
- 54. KELLEY K. K., Bull. Bur. Mines, No. 383 (1935).
- Brewer L., Somayajulu G. R. und Brackett E. Chem. Rev. 63, 111 (1963).
- SCHÄFER H., BAYER L., BREIL G., ETZEL K. und KREHL K., Z. anorg. allg. Chem. 278, 300 (1955).
- SCHÄFER H. und HÖNES W. J., Z. anorg. allg. Chem. 288, 62 (1956).
- Kelley K. K. und King E. G., Bull. 592, Bur. of Mines. Washington, 1961.
- 59. SPENCER H. M., J. chem. Phys. 14, 729 (1946).
- 60. SCHÄFER H. und WARTENPHUHL F., J. Less-Common Metals 3, 29 (1961).
- Hu J.-H. und Johnston H. L., J. Amer. Chem. Soc. 73, 4 550 (1951).
- MacLaren R. O. und Gregory N. W., J. Phys. Chem. 59, 541 (1955).
- SCHÄFER H. und JACOB H., Z. anorg. allg. Chem. 286, 56 (1956).

Anmerkung bei der korrektur—Temperaturgradienten: die unter 2.1.4 erwähnte Vermeidung von Temperaturgradienten betrifft nur solche von 10 bis 100°/10 cm und mehr; hingegen können ganz schwache, von 2 bis 5°/10 cm, nützlich sein, wenn man den B₂O₃-Tiegel in die kältere Zone bringt. Man verhindert dadurch, dass die Reaktionen (9), (10) und (11) Borsäure aus ihrem Tiegel heraustransportieren. Für derartiges Arbeiten muss sich der Halogenidtiegel auf gleichem Temperaturniveau wie der B₂O₃-Tiegel befinden, um Halogenid-Sublimation zu verhindern.

Chemische Analysen: innerhalb der Genauigkeit der nach dem Aufschluss (für die Metallbestimmung $K_2S_2O_8$, für der Halogenbestimmung NaOH) angewandten komplexometrischen Titrationsmethoden war bei allen Boraziten keine Abweichung von der Stöchiometrie festzustellen (z.B.: Ni-J-Borazit: Gew % theor.: Ni 30·01, J 21·63, Gew % exper.: Ni 29·75, J 21·48). Silizium konnte qualitativ-spektralanalytisch nur in Spuren nachgewiesen werden.